

УДК 539.186.01

**ОРИЕНТАЦИЯ АТОМНЫХ СОСТОЯНИЙ  
ПРИ МЕДЛЕННЫХ АНИЗОТРОПНЫХ СТОЛКНОВЕНИЯХ  
С ИОНАМИ В СЛАБОМ МАГНИТНОМ ПОЛЕ**

Петрашень А. Г., Ребане В. Н., Ребане Т. К.

На основе теории анизотропной столкновительной релаксации поляризационных моментов матрицы плотности и численного решения уравнений метода прицельного параметра предлагается количественная теория возникновения ориентации атомных состояний под комбинированным воздействием внешнего магнитного поля и столкновений с медленным ионным пучком (или с дрейфующими ионами — в случае газового разряда).

В [1] было показано, что внутримультиплетное смешивание при столкновениях возбужденных атомов с ионным пучком сопровождается возникновением продольного выстраивания атомных состояний вдоль пучка. Здесь показывается, что в слабом магнитном поле, перпендикулярном к оси пучка, это выстраивание частично переходит в выстраивание, наклоненное к оси пучка, которое в свою очередь под действием анизотропных столкновений порождает ориентацию атомных состояний, которую можно обнаружить по частичной круговой поляризации света, наблюдаемого вдоль магнитного поля. Такое явление порождения ориентации и круговой поляризации света представляет интерес как для экспериментов с атомно-ионными пучками, так и для физики низкотемпературной плазмы, а возможно, и для физики верхних слоев атмосферы, где регистрируемую оптическими методами ориентацию атомных состояний можно использовать для детектирования направленных потоков заряженных частиц и локальных магнитных полей.

Будем считать, что относительные скорости  $v = v_a - v_i$  сталкивающихся атомов (*a*) и ионов (*i*) распределены по закону

$$f(v) = (\alpha/\pi)^{3/2} \exp[-\alpha(v^2 + v_0^2 - 2vv_0 \cos \theta)], \quad (1)$$

где  $\theta$  — угол между осью ионного пучка и вектором  $v$ , а безразмерный параметр  $\lambda = v_0/\sqrt{\alpha}$  характеризует анизотропию распределения скоростей. Пусть столкновения медленны, так что они смешивают состояния *J* рассматриваемого узкого мультиплета тонкой структуры *L*, *S*, но не приводят к возбуждению атомов в состояния с другими *L*, *S*-термами. Введя поляризационные моменты подуровней мультиплета

$$\rho_Q^K(J) = \sum_{MM_1} (-1)^{J-M} \begin{bmatrix} J & J & K \\ M & -M & Q \end{bmatrix} \rho_{MM_1}(J), \quad (2)$$

получим для вклада столкновений в изменение поляризационных моментов во времени выражения

$$\left[ \frac{d}{dt} \rho_Q^K(J) \right]_{\text{столкн}} = \sum_{K_1} R_Q^{KK_1}(JJ_1; \lambda) \rho_Q^{K_1}(J_1), \quad (3)$$

где  $R(\lambda)$  — матрица анизотропной столкновительной релаксации. Ее элементы при различных значениях параметра анизотропии  $\lambda$  могут быть вычислены из матрицы предельно-анизотропной столкновительной релаксации, найденной

в [1], описывающей случай столкновений встречных пучков монокинетических атомов и ионов, по методике, описанной в [2].

Наиболее существенной особенностью системы уравнений (3) является то, что они соответствуют столкновительному перемешиванию поляризационных моментов различных рангов  $K$ . В частности, из них следует, что заселенности подуровней мультиплета  $n_J = \sqrt{2J+1} \rho_0^0(J)$  под действием анизотропных столкновений порождают их продольное выстраивание (параллельно пучку ионов)  $\langle 3J_z^2 - J^2 \rangle = \sqrt{J(J+1)(4J^2-1)(2J+3)/5} \rho_0^2(J)$ . Оно приводит к линейной поляризации света, испускаемого ансамблем атомов.

Пусть исследуемый ансамбль атомов наряду с действием анизотропных столкновений подвергается воздействию постоянного магнитного поля, перпендикулярного к оси ионного пучка ( $H = H_{ex}$ ), а также изотропной накачке, не наводящей на подуровнях данного мультиплета ориентации и выстраивания. Тогда полное развитие матрицы плотности для состояний данного мультиплета во времени описывается уравнениями

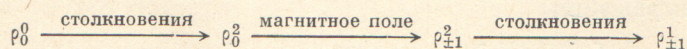
$$\dot{\rho} = (-\Gamma + R) \rho - ig_J \frac{eH}{2mc} [J_x, \rho] + N. \quad (4)$$

Здесь  $\Gamma$  — матрица радиационного затухания,  $N$  — матрица изотропной накачки, коммутатор  $[J_x, \rho]$  соответствует вкладу поперечного к оси пучка магнитного поля в изменение поляризационных моментов. Этот вклад равен

$$\begin{aligned} \left[ \frac{d}{dt} \rho_Q^K(J) \right]_{\text{М. п.}} = & -ig_J \frac{eH}{4mc} [\sqrt{(K-Q)(K+Q+1)} \rho_{Q+1}^K(J) + \\ & + \sqrt{(K+Q)(K-Q+1)} \rho_{Q-1}^K(J)]. \end{aligned} \quad (5)$$

Отсюда видно, что слабое магнитное поле, сохраняя значения рангов поляризационных моментов  $K$ , перемешивает их компоненты с проекциями  $Q$  на ось пучка, отличающимися на  $\pm 1$ .

При комбинированном воздействии на ансамбль атомов анизотропных столкновений и магнитного поля имеют место следующие процессы, приводящие в конечном счете к порождению ориентации и связанной с ней круговой поляризации света. Прежде всего изотропная накачка  $N$  обеспечивает заселение уровней  $J$ , но без наведения на них упорядоченности угловых моментов атомов. В результате под действием накачки порождаются только поляризационные моменты с нулевыми значениями  $K$  и  $Q$ , т. е. величины вида  $\rho_0^0(J)$ . Во-вторых, анизотропная столкновительная релаксация, описываемая уравнениями (3), связывая между собой поляризационные моменты  $\rho_Q^K(J)$  с рангами  $K$  одинаковой четности, приводит, в частности, к порождению продольного выстраивания  $\rho_0^2(J)$  подуровней мультиплета из их заселенностей, пропорциональных  $\rho_0^0(J)$ . В-третьих, согласно уравнениям (5), слабое магнитное поле вызывает частичный поворот продольной компоненты выстраивания, приводя к переходу величины  $\rho_0^2(J)$  в выстраивание, наклоненное под углом  $45^\circ$  к оси ионного пучка и описываемое линейной комбинацией величин  $\rho_{\pm 1}^2(J)$  и  $\rho_{\mp 1}^2(J)$ . Наконец в игру вновь вступает анизотропная столкновительная релаксация (как было независимо показано в работах одного из авторов [3] и Ломбарди [4]); наклоненное к оси пучка выстраивание порождает под действием анизотропных столкновений ориентацию атомных состояний (и круговую поляризацию света при наблюдении поперек пучка — в нашем случае вдоль магнитного поля). Эту цепочку процессов превращений поляризационных моментов, приводящую к порождению ориентации и связанной с ней круговой поляризации света, можно изобразить схемой



Все эти процессы, которые мы здесь ради ясности физической картины перечислили по отдельности, происходят в действительности одновременно, и их полное описание дается системой уравнений (4).

Точное численное решение этих уравнений мы произвели в стационарном случае (когда  $\dot{\rho}=0$ ) для узких  ${}^2P$ -дублетов. Были вычислены степень ориентации

уровня  $J=3/2$  — отношение его ориентации вдоль магнитного поля  $\langle J_x \rangle$  к его заселенности

$$\frac{\langle J_x \rangle}{n_{3/2}} = \sqrt{\frac{5}{2}} \frac{\operatorname{Re} \rho_1^1(3/2)}{\rho_0^0(3/2)}, \quad (6)$$

а также соответствующая этой ориентации степень круговой поляризации света, испускаемого с уровня  $J=3/2$ , и наблюдаемая вдоль магнитного поля

$$\frac{I_{\sigma+} - I_{\sigma-}}{I_{\sigma+} + I_{\sigma-}} = \frac{\operatorname{Re} \rho_1^1(3/2)}{\left[ \rho_0^0(3/2) - \frac{1}{4} \rho_0^0(3/2) + \frac{\sqrt{6}}{4} \operatorname{Re} \rho_2^2(3/2) \right]}. \quad (7)$$

Расчеты были выполнены при различных значениях параметра анизотропии распределения скоростей  $\lambda$ , а также параметров

$$u \equiv 3 |ZQ| e^2 n_i / 2\hbar\Gamma_0, \quad (8)$$

$$\eta \equiv eH / 2mc\Gamma_0, \quad (9)$$

характеризующих соответственно воздействие столкновений и магнитного поля на состояние ансамбля атомов. В формуле (8)  $n_i$  — плотность ионного пучка,  $Z$  — заряд иона,  $eQ$  — электрический квадрупольный момент исследуемого атома.

При определении параметра анизотропии скоростей  $\lambda$  по формуле  $\lambda = \sqrt{\alpha} v_0$  следует различать 2 наиболее типичных случая. В первом случае, когда монокинетический пучок ионов сталкивается с атомами, находящимися при температуре  $T_a$ , имеем:  $\alpha = m_a / 2kT_0$ , где  $m_a$  — масса атома, а под  $v_0$  следует понимать скорость ионов в пучке. Во втором случае, когда сталкиваются дрейфующие ионы с нейтральными атомами в разряде, под  $v_0$  следует понимать скорость дрейфа ионов, и  $\alpha = m_a m_i / 2k (m_a T_a \pm m_i T_i)$ , где  $T_i$  и  $T_a$  — эффективные температуры ионов и атомов в плазме разряда,  $m_i$  и  $m_a$  — их массы. С учетом сказанного наши результаты в одинаковой мере применимы как к случаю столкновений пучка ионов с атомами, термализованными в оптической ячейке, так и к случаю анизотропных ион-атомных столкновений в плазме (анизотропия которых обусловлена дрейфом ионов).

Решение уравнений (4) показало, что с ростом параметра анизотропии скоростей  $\lambda$  ориентация и степень круговой поляризации света монотонно растут, достигая практически уже при  $\lambda=5$  предельного значения, характеризующего случай столкновения встречных остронаправленных пучков ( $\lambda=\infty$ ). Приводимые ниже результаты и относятся к значению  $\lambda \geq 5$ .

На рис. 1 представлена зависимость степени круговой поляризации света от магнитного поля (от параметра  $\eta$  (9)) для различных эффективных плотностей ионного пучка (описываемых параметром  $u$  (8)). Из рисунка видно, что при каждой фиксированной плотности ионного пучка (фиксированном значении  $u$ ) степень круговой поляризации света сперва растет с ростом магнитного поля, достигает максимума, а затем убывает до нуля. По мере роста плотности пучка положение максимума сдвигается в сторону более высоких магнитных полей, а сам максимум уширяется. При этом максимально достижимая степень круговой поляризации света, излучаемого с уровня  $J=3/2$ , заселяемого только столкновениями (накачка производится только на уровень  $J=1/2$ ), составляет 0.8 %.

Расчеты показали, что степень ориентации (6) уровня  $J=3/2$  зависит от магнитного поля и от плотности ионного пучка практически так же, как и степень круговой поляризации, лишь слегка отличаясь от нее по своей численной величине.

Аналогичное возникновение круговой поляризации и зависимость ее величины от плотности ионного потока и магнитного поля имеют место при столкновениях возбужденных атомов с дрейфующими ионами в низкотемпературной плазме. При этом эффективность порождения ориентации (и круговой поляризации света) будет еще зависеть от соотношения интенсивностей накачки компонент дублета — от величины  $x = N_{1/2}/N_{3/2}$ . Эта зависимость может быть прослежена на рис. 2, из которого видно, что ориентация тем больше, чем сильнее

отношение интенсивностей накачки подуровней дублета отклоняется от равномерного (от значения  $x=1/2$ , соответствующего отношению статистических весов подуровней). При  $x=1/2$  ориентация обращается в нуль: в этом случае анизотропные столкновения с дрейфующими ионами не приводят к порождению продольного выстраивания  $\rho_0^2$ , и обрывается первое звено в цепочке превращений поляризационных моментов, порождающей ориентацию. При прохождении величины  $x$  через значение  $x=1/2$  ориентация меняет свой знак.

Изложенную здесь теорию мы применили к конкретному расчету порождения ориентации на  ${}^2P_{3/2}$ -уровнях лития и натрия. Необходимые для расчетов значения квадрупольных моментов  $Q$  были вычислены с использованием метода квантового дефекта [5], а постоянные затухания исследуемых состояний опуб-

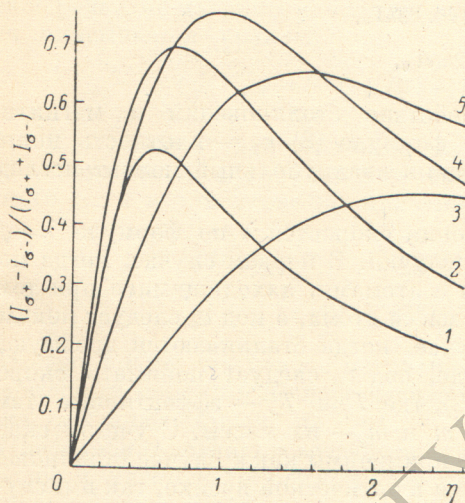


Рис. 1. Зависимость степени круговой поляризации света, испускаемого с уровня  $J=3/2$  узкого  ${}^2P$ -дублета, от магнитного поля при различных плотностях ионного пучка.

$u: 1 - 0.1, 2 - 0.2, 3 - 1.6, 4 - 4.0, 5 - 8.0.$

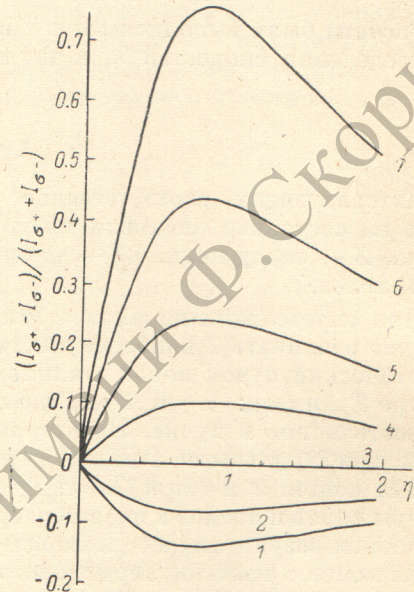
Рис. 2. Зависимость степени круговой поляризации света, испускаемого с уровня  $J=3/2$  узкого  ${}^2P$ -дублета, от магнитного поля при различных отношениях интенсивностей возбуждения тонких компонент  ${}^2P$ -дублета  $x$ .

Расчеты проведены для параметра анизотропии  $\lambda \geqslant 5$  при эффективной плотности ионного потока  $u=0.3$ .  
 $x: 1 - 0, 2 - 0.2, 3 - 0.5, 4 - 1, 5 - 2, 6 - 5, 7 - \infty.$

ликованы в [6-8]. Оказалось, что в слабых магнитных полях степень круговой поляризации света, испускаемого с  ${}^2P_{3/2}$ -уровня, составляет десятые доли процента. Максимальная степень круговой поляризации (0.75 %)  $D_2$ -линии достигается в случае лития в магнитном поле  $H=3$  эрстед при плотности ионного пучка  $n_i=1 \cdot 10^{14} \text{ см}^{-3}$ , а в случае натрия — при  $H=7$  эрстед и  $n_i=2 \cdot 10^{14} \text{ см}^{-3}$ .

Важно отметить, что такое превращение выстраивания в ориентацию имеет место и в типичных экспериментальных условиях исследования самовыстраивания атомных состояний в газовом разряде постоянного тока по методу Ханле [6]: сама экспериментальная методика связана с приложением слабого магнитного поля, поэтому в таких экспериментах представляет несомненный интерес наряду с изучением сигнала Ханле линейной поляризации поиск и регистрация сопутствующего ему сигнала круговой поляризации света, обусловленного комбинированным воздействием магнитного поля и дрейфа ионов.

В заключение заметим, что поперечная ориентация атомных состояний в слабом магнитном поле помимо рассмотренного здесь механизма анизотропных столкновений с ионами при тепловых скоростях может порождаться и при возбуждении атомов электронным ударом в высокочастотном разряде [9], а также вследствие отдачи атомов при их возбуждении ионами высоких энергий [10] или вследствие



нелинейности взаимодействия атомов с возбуждающим световым полем, смещенным по частоте относительно центра атомной спектральной линии [11, 12]. Роль каждого из этих механизмов существенно зависит от конкретных физических условий.

#### Литература

- [1] Петрашень А. Г., Ребане В. Н., Ребане Т. К. — Опт. и спектр., 1984, т. 57, в. 2, с. 200—206.
- [2] Петрашень А. Г., Ребане В. Н., Ребане Т. К. — Опт. и спектр., 1984, т. 57, в. 6, с. 963.
- [3] Ребане В. Н. — Опт. и спектр., 1968, т. 24, в. 3, с. 309—315.
- [4] Lombardi M. — Compt. rendus, 1967, v. 265, p. 191—194.
- [5] Lindgard A., Nielsen S. E. — Atom. Data, 1977, v. 19, N 6, p. 534—599.
- [6] Чайка М. П. Интерференция вырожденных атомных состояний. Л., 1975. 192 с.
- [7] Собельман И. И. Введение в теорию атомных спектров. М., 1963. 640 с.
- [8] Bousquet C., Bras N. — J. de Phys., 1977, v. 38, N 1, p. 139—147.
- [9] Lombardi M. — J. de Phys., 1969, v. 30, N 8—9, p. 631—642.
- [10] Chamoun E., Lombardi M., Carré M., Gaillard M. L. — J. de Phys. (France), 1977, v. 38, N 6, p. 591—598.
- [11] Котликов Е. Н., Чайка М. П. — Опт. и спектр., 1983, т. 55, в. 2, с. 242—245.
- [12] Боярский К. К., Котликов Е. Н. — Опт. и спектр., 1983, т. 55, в. 3, с. 443—448.

Поступило в Редакцию 28 марта 1984 г.